УДК 541.127

ФИЗИЧЕСКАЯ ХИМИЯ

## Т. А. ТИТАРЧУК, А. П. БАЛЛОД, В. А. КУЛИКОВА, Н. Г. ПРОХОРЦЕВА, В. Я. ШТЕРН

## КОНСТАНТА СКОРОСТИ РЕАКЦИИ МЕТИЛЬНОГО РАДИКАЛА С ОКИСЬЮ АЗОТА

(Представлено академиком Н. Н. Семеновым 29 VI 1972)

Константа скорости взаимодействия метильного радикала с окисью азота определялась рядом авторов (¹). Найденные величины константы скорости реакции второго порядка

$$CH_3 + NO = CH_3NO \tag{1}$$

лежат в интервале от  $2\cdot 10^{10}$  до  $2\cdot 10^{12}$  моль  $^{-1}\cdot \text{см}^3\cdot \text{сек}^{-1}$ . Недостатком большинства работ является расчет скорости реакции только по расходу одного из исходных веществ без сведения баланса, а также отсутствие доказательства, что измерено предельное значение константы скорости, т. е. что константа действительно является константой скорости реакции второго порядка. Предельное значение константы скорости дается только в работах Кристи  $5\cdot 10^{11}$  моль  $^{-1}\cdot \text{см}^3\cdot \text{сек}^{-1}$  при давлении  $100\,\text{ мм}$  рт. ст. (97 мм  $\text{CO}_2$  и 3 мм  $\text{CH}_3\text{J}$ ) ( $^2$ ,  $^3$ ), Миллера и Стесси  $1,6\cdot 10^{11}$  моль  $^{-1}\cdot \text{см}^3\cdot \text{сеk}^{-1}$  ( $^4$ ) ( $^4$ ,5 мм диметилртути, общее давление до  $100\,\text{ мм}$  рт. ст. достигалось разбавлением азотом или ацетоном) и Баско, Джеймса и Суарта  $^2$ ,2  $^1$ ,10 моль  $^{-1}\cdot \text{см}^3\cdot \text{сеk}^{-1}$  ( $^5$ ) при  $^4$ 00 мм рт. ст. азота. Слеппи и Калверт ( $^6$ ) определили константу скорости при давлениях изопентана и неопентана  $^5$ 0 —  $^2$ 80 мм рт. ст.  $^6$ 10 моль  $^{-1}\cdot \text{см}^3\cdot \text{сеk}^{-1}$ . Мы поставили целью определить константу скорости реакции метильных радикалов с окисью азота непосредственно по скорости образования продукта реакции —  $^6$ 13NO, который, как показано ниже, является конечным продуктом в наших условиях.

Известны дальнейшие превращения нитрозометана:

димеризация 
$$2CH_3NO = (CH_3NO)_2$$
, (2)

изомеризация 
$$CH_3NO = CH_2NOH$$
, (3)

присоединение NO 
$$CH_3NO + 2NO \rightarrow CH_3(NO)_3$$
 (4)

и присоединение 
$$CH_3$$
  $CH_3NO + CH_3 \rightarrow (CH_3)_2NO$ . (5)

Реакцию, аналогичную (5), наблюдали Машке, Шапиро и Лампе (<sup>7</sup>) на примере соответствующих дейтеропроизводных.

Константа скорости реакции (2) известна (8), а именно:  $k_2=0.63\cdot 10^8\exp\left(-4600\,/RT\right)$  и при  $170^\circ$   $k_2=2.6\cdot 10^5$  см³·моль-¹·сек-¹. Сравнивая в наших условиях для стационарного состояния (концентрации СН₃\*, NO и СН₃NO из данных табл. 2) скорости реакций (1) и (2), можно показать, что  $w_4$  на порядок превышает  $w_2$ , т. е. димеризация нитрозометана в газовой фазе будет мала.

Константы скорости реакций (3) и (4):  $k_3 = 8 \cdot 10^8 \exp{\left(-27\ 100\ / RT\right)}$  сек $^{-1}$  (°),  $k_4 = 2.6 \cdot 10^6 \exp{\left(1800\ / RT\right)}$  см $^6 \cdot$ моль $^{-2} \cdot$ сек $^{-1}$  (8), что при 170° составляет  $4 \cdot 10^5$  сек $^{-1}$  и  $2.1 \cdot 10^6$  см $^6 \cdot$ моль $^{-2} \cdot$ сек $^{-1}$  соответственно. Сравнивая, как и ранее, скорости реакций (1), (3) и (4), можно показать, что скорости реакций (2) и (4) в условиях, приведенных в табл. 2, на несколько порядков меньше, чем скорость реакции (1).

<sup>\*</sup> Концентрация СН3 рассчитывалась по этану.

Некоторые опасения может вызывать реакция (5), так как ее скорость, рассчитанная аналогично на основании константы скорости взаимодействия  $CD_3$  с окисью азота,  $k_5 = 13.2$   $cm^3 \cdot моль^{-1} \cdot cek^{-1}$ , соизмерима со скоростью реакции (1). Однако удовлетворительное сведение баланса по метильным радикалам без учета реакции (5), полученное в нашей работе, говорит о том, что реакция (5) также не имеет значения.

В настоящей работе определение константы скорости реакции метильного радикала с окисью азота производилось при использовании проточно-

циркуляционной методики (вариант безградиентного реактора) (10, 11). Проточноциркуляционная методика, если она обеспечивает безградиентный реактор, обладает рядом преимуществ. В этом случае не нужны упрощающие предположения. Скорость реакции измеряется непосредственно в дифференциальной форме, поэтому не требуется интегрирование кинетических уравнений и анализ опытных данных весьма облегчается. Кроме того, использованная методика дает возможность, применяя малые концентрации СН<sub>3</sub> и NO, накапливать сравнительно большие количества конечных продуктов.

Схема протечно-циркуляционной установки дана па рис. 1. Реактор представлял собой цилиндрический сосуд из молибденового стекла диаметром 2,8 см. Объем реактора составлял 150 см<sup>3</sup>. Реактор имел рубашку, через которую циркулировала термостатирующая жидкость. Перепад температуры в рубашке по длине реактора не превышал 2°. Для быстрого прогрева газовой смеси ввод в реактор был сделан в виде пяти параллельных трубок из «мя-

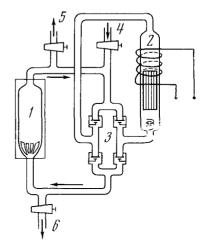


Рис. 1. Схема проточно-циркуляционной установки: I — реактор в термостате, 2 — электромагнитный поршневой насос, 3 — клапапы, 4 — ввод исходных веществ, 5 — вывод реагирующей смеси за реактором, 6 — вывод реагирующей смеси до реактора

того стекла». Длина каждой трубки около 7 см. Циркуляционный насос (системы ГИАП) с большой скоростью (500 см<sup>3</sup>/сек) подавал в реактор медленно обменивающуюся реакционную смесь.

Источником метильных радикалов служил термический распад дитретичной бутилперекиси

$$(CH_3)_3COOC(CH_3)_3 \rightarrow 2(CH_3)_3CO,$$
 (6)

$$(CH_3)_3CO \rightarrow CH_3 + (CH_3)_2CO.$$
 (7)

Превращение дитретичной бутилперекиси рассчитывалось по ацетону. В условиях наших опытов оно не превышало 1.5-2%.

Константа скорости взаимодействия метильных радикалов с окисью азота определялась при температуре  $170^\circ$ . Суммарное время контакта составляло около 12 сек. Количество окиси азота в исходной смеси изменялось от 0.2 до 1 мм рт. ст. Давление паров перекиси в реакционном сосуде составляло 6-8 мм рт. ст. Опыты проводились при суммарном давлении  $200,\,100,\,50$  и 25 мм рт. ст., что достигалось разбавлением  $N_2$  или He.

Были найдены следующие продукты реакции:  $CH_3COCH_3$ ,  $C_2H_6$ ,  $CH_3NO$  и небольшие количества  $CH_4$  (не более  $0,2\cdot 10^{-9}$  мол/см³). В газовых пробах хроматографически анализировались  $C_2H_6$  на колонке (длиной 6 м и диаметром 3 мм) с алюмогелем (0,25—0,5 меш), обработанным раствором NaOH и пропитанным 3% сквалана, ацетон и ди-трет.-бутилперекись анализировались на колонке (длиной 2 м и диаметром 4 мм), носитель ИНЗ-600 (0,25—0,4 меш), с 10% динонилфталата, 3% сквалача и 0,5% триэтилепгликоля; окись азота анализировалась на колонке (длиной 1 м

и диаметром 4 мм) с пористым сополимером полисорб-1 при температуре —78°. Первая колонка подключалась к пламенно-ионизационному детектору, вторая и третья — к катарометру.

Количественное определение нитрозометана, который вымораживался из струи при —196°, проводилось по способу, использованному в работе (12). При размораживании нитрозометан димеризуется, образуя цис-димер. Образовавшийся цис-димер нитрозометана определялся спектрофотомет-

Таблица 1 Опытная проверка стационарности \*  $w_{\text{пирк}} = 500 \text{ см}^3/\text{сек}, \ T = 170^{\circ} \text{ C}, \ \theta = 12,5 \text{ сек.}, \ P_{\text{общ}} = 100 \text{ мм рт. ст.}, \ P_{\text{Peq}} \approx 7 \text{ мм рт. ст.}, \ [\text{NO}]_0^{**} = 17,8\cdot10^{-9} \text{ мол/см}^3, \ \text{газ-разбавитель} --$ 

| 16089    |   |                       |  |                   |  |  |  |  |
|----------|---|-----------------------|--|-------------------|--|--|--|--|
| № опыта  | [140]   | $[C_2H_6]$            | [CH°NO]  | k·10-11,          |  |  |  |  |
| лу опыта |   | 10° мол/см            | CM8·MOЛ <sup>-1</sup> ·CeK <sup>-1</sup>                     |                   |  |  |  |  |
| 546      | $\begin{array}{ c c }\hline 2,9\\ 2,6\\ \hline \end{array}$ | $\frac{-}{0,052}$     | =  | =                 |  |  |  |  |
| 547      | $\frac{2,9}{3,2}$   | $\frac{0,057}{0,043}$ | $\begin{array}{c c} 7,2\\ \hline 7,3 \end{array}$            | $\frac{4,2}{4,4}$ |  |  |  |  |
| 549      | $\begin{array}{ c c }\hline 2,7\\\hline 2,7\end{array}$     | $\frac{0,042}{0,046}$ | $\begin{array}{c c} 7,3 \\ \hline 7,2 \end{array}$           | $\frac{5,3}{5,0}$ |  |  |  |  |
| 550      | =   |                       | $\begin{array}{ c c }\hline 7,8\\ \overline{7,2}\end{array}$ | =                 |  |  |  |  |

<sup>\*</sup> Цифры над чертой — отбор пробы до реактора, под чертой — после реактора.

\*\*  $[NO_0]$  — концентрация NO, измеренная в «холостом» опыте без перекиси.

определялся спектрофотометрически (в фосфатном буфере при рН 7,  $\lambda_{\text{max}}$  265 мµ) с использованием коэффициента экстинкции (log ε 4,03) из работы (°). В жидкой фазе со значительной скоростью идет изомеризация нитрозометана в оксим (12). Чтобы избежать образования оксима, фосфатный буфер приливался лишь после размораживания нитрозометана, так как образовавшийся при размораживании цис-димер изомеризации не подвергался.

Если скорость циркуляции достаточно велика по сравнению со скоростью отбора, то в системе устанавливается стационарное состояние, отвечающее определенному содержанию исходных веществ и продуктов реакции в реакционной сме-

си. В нашем случае  $w_{\text{пирк}}/w_{\text{отб}}=45$ . Устройство пиркуляционной системы позволяло отбирать смесь как после, так и до реактора по ходу газовой смеси. Если состав смеси, отобранной после реактора такой же, как и состав смеси до реактора, то можно считать, что в системе установилось стационарное состояние. Данные табл. 1 показывают, что на опыте это условие хорошо выполнялось.

Таблица 2 Константа скорости реакции  $\mathrm{CH_3} + \mathrm{NO} = \mathrm{CH_3NO}$  при различных [NO]  $w_{\mathrm{цирк}} = 500$  см³/сек, T = 170° C,  $\theta = 11$ ,6 сек.,  $P_{\mathrm{OGII}} = 100$  мм рт. ст.,  $P_{\mathrm{Peq}} \approx 7$  мм рт. ст., газ-разбавитель — гелий

| № опыта           | [NO] <sub>0</sub> ,<br>MON/CM <sup>8</sup> | [NO]               | [C <sub>2</sub> H <sub>6</sub> ] | [CH3NO]           | k <sub>1</sub> ·10 <sup>-11</sup><br>см³·моль <sup>-1</sup> ·сек <sup>-1</sup> |  |
|-------------------|--|--------------------|----------------------------------|-------------------|--|--|
|                   |  | 10° мол/см³        |                                  |                   | CM3·MONP-1·C6K-1   |  |
| 432<br>458<br>433 | 37,3 $14,2$ $10,7$                         | 15,0<br>1,5<br>0,8 | 0,002<br>0,070<br>0,300          | 8,7<br>4,7<br>5.2 | 5,2<br>4,9<br>4,9  |  |

Определение константы скорости реакции метильного радикала с окисью азота проводилось методом конкурирующих реакций (13), сравнением скорости образования нитрозометана со скоростью рекомбинации метильных радикалов

где  $\theta$  — время контакта, [CH<sub>3</sub>NO] и [C<sub>2</sub>H<sub>6</sub>] — стационарные концентрации нитрозометана и этана соответственно, а  $w_4$  и  $w_8$  их скорости образования. Константа скорости рекомбинации метильных радикалов была принята равной  $2.12 \cdot 10^{13}$  см<sup>3</sup> · моль<sup>-1</sup> · сек<sup>-1</sup> (<sup>14</sup>). Дополнительно вводилась поправка, учитывающая зависимость  $k_8$  от давления (<sup>15</sup>).

В табл. 2 для примера приведены экспериментальные величины стационарных концентраций исходных веществ и продуктов реакции, а также значения константы скорости взаимодействия метильного радикала

с окисью азота. Из данных табл. 2 видно, что изменение стационарной концентрации окиси азота в десять раз не влияет на величину константы скорости реакции  $CH_3 + NO$ .

С целью определения предельного значения константы скорости взаимодействия метильного радикала с окисью азота нами были проделаны опыты при различных давлениях в реакторе. Давление изме-

T аблица 3 Константа скорости реакции  $CH_3+NO=CH_3NO$  при различных давлениях He и  $N_2$   $T=170^\circ$ ,

 $P_{
m Peq}pprox 7\,$  мм рт. ст.

| № серии                    | Р <sub>общ</sub> ,<br>мм рт. ст.    | θ, сек.                                      | Газ-<br>разбавит <b>е</b> ль  | k <sub>1</sub> ·10 <sup>-1</sup> 1,<br>см³·моль <sup>-1</sup> ·сек <sup>-1</sup> |  |  |  |
|----------------------------|-------------------------------------|--|---|--|--|--|--|
| 1<br>2<br>3<br>4<br>5<br>6 | 25<br>50<br>100<br>200<br>25<br>200 | 12,9<br>12,5<br>12,5<br>11,6<br>12,9<br>12,8 | Не<br>Не<br>Не<br>Не<br>N <sub>2</sub><br>N <sub>2</sub><br>Среднее | $4,3\pm1,0\\4,6\pm0,6\\5,5\pm0,6\\5,5\pm0,8\\6,0\pm0,4\\4,7\pm1,8$ $5,1\pm0,9$   |  |  |  |

нялось за счет разбавления гелием. Каждое значение константы скорости в табл. 3 среднее из 5—10 определений; табл. 3 показывает, что величина константы мало зависит от давления гелия.

Принимая во внимание результаты Баско, Джеймса и Суарта (7), наблюдавших зависимость константы скорости реакции (1) от давления азота, мы провели две серии опытов с азотом. Данные табл. З говорят, что и в этом случае константа скорости практически не зависит от давления. Большая погрешность, полученная в шестой серии, объясняется трудностями, возникающими в анализе NO при увеличении содержания азота в реакционной смеси. Баланс по метильным радикалам во всех шести сериях равен ~75%, а по окиси азота выполнялся хуже и составлял ~50%.

При рассмотрении полученных результатов можно сделать предположение, что гелий и азот являются малоэффективными стабилизирующими частицами. Установлено значение константы скорости реакции  $CH_3 + NO = CH_3NO$  при 170° в присутствии 25—200 мм гелия или азота  $k_4 = (5.1 \pm 0.9) \cdot 10^{11}$  см³·моль¬¹·сек¬¹. Для нахождения предельного значения константы скорости необходимы дополнительные исследования с применением более эффективного акцептора энергии, чем азот или гелий.

Институт нефтехимического синтеза им. А. В. Топчиева Академии наук СССР Москва Поступило 29 VI 1972

## **ЦИТИРОВАННАЯ ЛИТЕРАТУРА**

¹ В. Н. Кондратьев, Константы скорости газофазных реакций, Справочник, «Наука», 1970. ² М. І. Сhristie, Proc. Roy. Soc., A, 249, 248 (1959). ³ М. І. Сhristie, J. S. Frost, Trans. Farad. Soc., 61, 468 (1965). ⁴ D. M. Miller, E. W. R. Steacie, J. Chem. Phys., 19, 73 (1951). ⁵ N. Basco, D. G. L. James, R. D. Suart, Int. J. Chem. Kinet., 2, 215 (1970). ⁶ W. C. Sleppy, J. G. Calvert, J. Am. Chem. Soc., 81, 769 (1959). ¹ A. Maschke, B. S. Sapiro, F. W. Lampe, J. Am. Chem. Soc., 86, 1929 (1964). ⁶ T. Jonston, J. Heicklen, J. Phys. Chem., 70, 3088 (1966). ⁶ L. Ваtt, B. G. Gowenlock, Trans. Farad. Soc., 56, 682 (1960). ¹ М. И. Темкин, Кинетика и катализ, 3, 509 (1962). ¹¹ Н. Л. Шляпникова, В. В. Кононова и др., Арм. хим. журн., 20, 974 (1967). ¹² В. G. Gowenlock, I. Тгоtman, J. Chem. Soc., 1955, 4190. ¹³ Е. W. R. Steacie, Atomic and Free Radical Reactions, Sec. Ed., I, N. Y., 1954. ¹⁴ A. Shepp, J. Chem. Phys., 24, 939 (1956). ¹⁵ В. Н. Кондратьев, Кинетика и катализ, 8, 965 (1967).